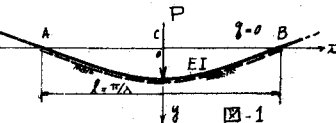


大阪市大 正員 倉田 宗 章
明石高専 正員。高 端 宏 直
大阪市大 正員 谷 平 勉

1. 概要……弾性基礎上のはりや板は従来種々の方法で解かれているが負の反力を考へた場合がほとんどである。今回は負の反力を考へない場合の一例として弾性基礎上の無限長のはりに1集中荷重が下方に作用した場合を解析し従来の方法と比較検討した。

2. 線型問題と非線型問題の限界……従来の考え方と異る点は (1) 負の反力が存在しない。(2)自重を考へねばならない。(3)境界値(変位0の点)が荷重の増減に従い移動する非線型問題となる。以上の3点で、たとえば集中荷重Pがのる弾性基礎上のはりについて従来のように自重を無視すると図-1のようになりますが、柱となり両端は直線的に無限に伸びるが本文では常に自重を考へることにする。そのため曲線および荷重分布の形が、曲げモーメントは次式で表わされる。

$$\begin{aligned} y &= \frac{P\lambda}{2k} \frac{1}{\sinh \lambda x} [\cosh \lambda x \cos \lambda x - \sinh \lambda x \sin \lambda x + \cos \lambda x \cosh(\pi - \lambda x) + \sin \lambda x \sinh(\pi - \lambda x)] \\ y_c &= \frac{P\lambda}{2k} \frac{\cosh \pi + 1}{\sinh \pi}, \quad M_c = \frac{P}{4\lambda} \frac{\cosh \pi + 1}{\sinh \pi} \quad \text{ただし } \lambda = \sqrt{k/4EI} \end{aligned} \quad (1)$$



1集中荷重が作用する場合の従来の解法は次式で表わされPとyは1次関係にある。

$$y = \frac{P\lambda}{2k} A_{xx}, \quad i = -\frac{P\lambda^2}{k} B_{xx}, \quad M = \frac{P}{4\lambda} C_{xx}, \quad Q = -\frac{P}{2} D_{xx} \quad (2)$$

ただし $A_{xx} = e^{\lambda x} (\cos \lambda x + \sin \lambda x)$, $B_{xx} = e^{-\lambda x} \sin \lambda x$, $C_{xx} = e^{\lambda x} (\cos \lambda x - \sin \lambda x)$, $D_{xx} = e^{-\lambda x} \cos \lambda x$

またその曲線は $x=0$, $x=\pi/\lambda$ で y_{max} , y_{min} を与える。

$$y_{max} = [y]_{x=0} = \frac{P\lambda}{2k}, \quad y_{min} = [y]_{x=\pi/\lambda} = -\frac{P\lambda}{2e^{\lambda k}} \quad (3)$$

それそれの卓のモーメントは $[M]_{x=0} = \frac{P}{4\lambda}$, $[M]_{x=\pi/\lambda} = -0.0108 \frac{P}{\lambda}$

$$\text{シヘの影響を考へると (略) } y = \frac{P\lambda}{2k} A_{xx} + \frac{q}{k} \quad (4)$$

つぎに図-3を参照して(1)線において浮上してある部分(AB)

には反力が存在しないので全体として非線型問題となる。(2)線の場合は浮上現象ではなく復元はlevelに接する。さらK8が増大すると線型問題となる。これまでの場合もX軸に平行な線に收れんする。ここでその限界を求めると

非線型の場合 $\beta > \frac{q}{k}$, 線型の場合 $\beta \leq \frac{q}{k}$ となり

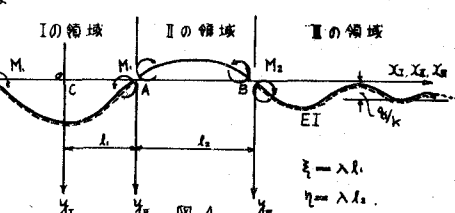
$$(3) \text{式を用いて } \beta = |y_{min}| - \frac{P\lambda}{2e^{\lambda k}} \leq \frac{q}{k} \quad \therefore \beta \geq 0.02161 \text{ PA}$$

また $\beta = \alpha P \lambda \quad (3)$ とおくと

$$\alpha \geq 0.02161 \cdots \text{線型}, \quad \alpha \leq 0.02161 \cdots \text{非線型となる}.$$

3. 解法……図-4に示すように I(両端鉄), II(単純はり), III(1端鉄の半無限長のはり)の各領域

(注) 使用記号 P: 集中荷重(kg) q: 分布荷重(kg/cm) y: 地盤反力(kg/cm) k: 基礎のはり剛度数(kg/cm) EI: 基礎のはり断面モーメント(kg·cm) M: 曲げモーメント(kg·cm) Q: ゼン断力(kg)



に区分しその境界K不確定力 M_1, M_2 を作用させる。いずれも P, g, M_1, M_2 のいずれかが組合さって作用する弾性基礎上のはりまたは単純ばかりK接着できる。 CA, AB 間を各々 I_1, I_2 ($\xi = \lambda I_1, \eta = \lambda I_2$ とかく) として I, II, III領域の解式を求め境界条件に代入する。まず各領域の必要な諸量を求める。

$$\text{I の領域} \quad \begin{aligned} \psi_1 &= \frac{P\lambda}{2k} \psi_3 + \frac{g}{k} (1 - 2\psi_3) + \frac{4M_1 \lambda^2}{k} \psi_1, \\ i_A &= -\frac{2P\lambda^2}{k} \psi_3 - \frac{3\lambda}{k} \psi_3 + \frac{2M_1 \lambda^2}{k} \psi_1, \end{aligned} \quad \left. \begin{aligned} M_c &= \frac{P}{4\lambda} \psi_4 + \frac{g}{\lambda^2} \psi_1 + 2M_1 \psi_3 \\ Q_A &= -P\psi_1 - \frac{g}{2\lambda} \psi_4 + M_1 \lambda \psi_3 \end{aligned} \right\} \quad (6)$$

$$\text{ただし } \frac{\sinh \lambda I_1 \sinh \lambda I_2}{\cosh 2\lambda I_1 + \cos 2\lambda I_2} = \psi_1(\xi) = \psi_3, \quad \frac{\cosh \lambda I_1 \cos \lambda I_2}{\cosh 2\lambda I_1 + \cos 2\lambda I_2} = \psi_2(\xi) = \psi_3, \quad \frac{\sinh 2\lambda I_1 - \sin 2\lambda I_2}{\cosh 2\lambda I_1 + \cos 2\lambda I_2} = \psi_3(\xi) = \psi_3, \quad \frac{\sinh 2\lambda I_1 + \sin 2\lambda I_2}{\cosh 2\lambda I_1 + \cos 2\lambda I_2} = \psi_4(\xi) = \psi_3$$

$$\text{II の領域} \quad i_B = \frac{8\lambda}{3k} \eta^2 + \frac{2\lambda^3}{3k} \eta (2M_1 + M_2), \quad i_B = -\frac{8\lambda}{6k} \eta^2 - \frac{2\lambda^3}{3k} \eta (M_1 + 2M_2), \quad Q_B = \frac{g}{2\lambda} \eta - \lambda \frac{(M_1 - M_2)}{\eta}, \quad Q_B = -\frac{g}{2\lambda} \eta - \lambda \frac{(M_1 - M_2)}{\eta} \quad (7)$$

$$\text{III の領域} \quad i_B = \frac{\lambda}{k} (g + 2M_2 \lambda^2), \quad Q_B = \frac{g}{2\lambda} - M_2 \lambda \quad (8) \quad (\text{いすれももとわせの一般式等は省略する})$$

境界条件としての A, B 両支点の左右のたわみ角せん断力の連続、(5)式より次式が成立せねばならない。

$$i_A = i_A' \rightarrow a_1(\xi) \eta^5 + b_1(\xi) \eta^4 + c_1(\xi) \eta^3 + d_1(\xi) \eta^2 + e_1(\xi) \eta + f_1(\xi) = 0$$

$$Q_A = Q_A' \rightarrow a_2(\xi) \eta^5 + b_2(\xi) \eta^4 + c_2(\xi) \eta^3 + d_2(\xi) \eta^2 + e_2(\xi) \eta + f_2(\xi) = 0$$

$$i_B = i_B' \rightarrow \frac{8\lambda}{6k} \eta^5 + \frac{2\lambda^3}{3k} \eta (M_1 + 2M_2) = -\frac{\lambda}{k} (g + 2M_2 \lambda^2), \quad Q_B = Q_B' \rightarrow \frac{g}{2\lambda} \eta + \lambda \frac{(M_1 - M_2)}{\eta} = M_2 \lambda - \frac{g}{2\lambda}$$

$$\text{ただし } a_1(\xi) = \alpha, \quad b_1(\xi) = \beta \alpha, \quad c_1(\xi) = 15(1 + \varphi_1), \quad d_1(\xi) = -6(2\varphi_1 + \varphi_2 - 5\varphi_3 - 4d), \quad e_1(\xi) = -18(2\varphi_1 + \varphi_2 - 2\varphi_3 - d), \quad f_1(\xi) = -18(2\varphi_1 + \varphi_2 - 2\varphi_3 - d\varphi_4)$$

$$a_2(\xi) = 0, \quad b_2(\xi) = \alpha \varphi_3, \quad c_2(\xi) = \alpha(5\varphi_3 + 3), \quad d_2(\xi) = 2(2\varphi_2 + \alpha(\varphi_4 + 5\varphi_3 + 6\alpha)), \quad e_2(\xi) = -6(2\varphi_2 + \alpha(\varphi_4 + 2\varphi_3 + 3d)), \quad f_2(\xi) = -6(2\varphi_2 + \alpha(\varphi_4 + \varphi_3 + 2d))$$

以上4式より M_1, M_2, α, β を求めることができる。

4. 従来の解法との比較検討 …… (6)式より求めた ξ, η, M_1, M_2 と α の関係を図-5に示した。図-6はそれらの値を用いて α の種々の値で描いた弾性曲線である。実線は $g = 0$ すなわち $\alpha = 0$ の場合の従来の方法(2)式より求めたもので今回の方

法と比較するには各場合について ξ/k を上下に平行移動すればよい。(4)線は限界線を表す。図-7

は α と集中荷重下のたわみ、曲げモーメント、最大浮上り量との関係を示した。これらよりよ

り M_c は $\alpha = 0.003$ で約 1.6%, $\alpha = 0$ で約 9% の差

がみられる。また浮上り量は $\alpha = 0.01$ で従

来の方法の値の約 3 倍、 $\alpha = 0.003$ で約 7.9 倍

となつている。参考まで K のべると鉄道

の一般軌道 $\alpha \neq 0.0035$ である。

結論として

(1) 実用上からは $\alpha > 0.0025$ ではたわみ

と曲げモーメントは従来の方法で行って

大きな差異はない。

(2) 浮上り量や、浮上りを生じてひずみ

間を問題にする場合には従来の方法では

大きな誤差を生ずるので検討の要がある。

以上の理論解に対する実験は現在計画中である。



図-6 たわみ曲線 (a) α と ξ の関係 (b) α と M, M_c の関係



図-7 α と ξ, M, M_c, S_{\max} の関係



図-7 α と ξ, M, M_c, S_{\max} の関係